

بررسی اثرات دانسیته جریان و دمای حمام آبکاری پالسی بر نانو ساختار پوشش دی اکسید سرب روی زیرلایه تیتانیمی

سید مرتضی میرعلی، کوروش جعفرزاده و مسعود میرجانی

دانشکده مواد و فناوریهای ساخت، دانشگاه صنعتی مالک‌اشتر تهران

(دریافت: ۸۹/۱۲/۱۸ - پذیرش: ۹۰/۲/۳۰)

چکیده

در این تحقیق پوشش الکتروکاتالیتیک دی اکسید سرب روی زیرلایه Ti/SnO_2 با استفاده از تکنیک‌های آبکاری جریان مستقیم و آبکاری جریان پالسی از حمام نیترات سرب بدست آمد. به منظور ایجاد پوششی با بیشترین زبری سطح، کوچکترین توزیع اندازه کریستال و سطح ویژه بالا، متغیرهای آزمایشگاهی مانند دانسیته جریان و دمای حمام آبکاری پالسی مورد بررسی قرار گرفته است. نمونه‌ها پس از پوشش دهنی با استفاده از SEM آزمایشگاهی چرخه‌ای مورد بررسی قرار گرفتند. نتایج بررسی‌ها نشان داد که شرایط بهینه دما و دانسیته جریان در این تحقیق برابر است با $65^{\circ}C$ و 33 mAcm^{-2} . مورفولوژی پوشش دی اکسید سرب تولیدی در این شرایط حاوی نانو پولک‌های با ضخامتی در محدوده ۴۵ تا ۸۵ nm و طولی در محدوده ۷ تا $10\mu\text{m}$ است. تصاویر STM پوشش دی اکسید سرب تولید شده در این شرایط نیز وجود نانوذرات دی اکسید سرب با قطر متوسطی در محدوده ۷ تا ۲۱ nm را روی پولک‌ها تأیید می‌کند.

واژه‌های کلیدی: دی اکسید سرب؛ مورفولوژی؛ نانو پولک؛ نانو ذرات، آبکاری پالسی

The effect of current density and temperature on nanostructure of PbO_2 coating on Ti/SnO_2

S. M. Mirali, K. Jafarzadeh and M. Mirjani

Materials and Manufacturing Technologies, Malek-e-Ashtar University of Technology, Tehran
(Received 8 March 2011, accepted 20 May 2011)

Abstract

In this paper we present the results of a study on the use of electro-catalytic coating of PbO_2 on Ti/SnO_2 substrate. The experiments were conducted using continuous and pulse DC electroplating innitrate type electrolyte. Electroplating parameters, such as, current density and electrolyte temperature were changed to produce a coating with a high surface roughness, small crystal size and high active surface area. The samples were studied using a number of techniques that included SEM (Scanning Electron Microscopy), roughness measurement and CV (Cyclic Voltammetry). The results showed that a combination of $65^{\circ}C$ and 33 mAcm^{-2} were an optimum temperature and current density that yield a good coating of pure β -phase. The morphology of coating that mentioned above electroplating conditions included nano-flakes with a thickness about 45-85nm and 0.75-10 μm length. The STM (Scanning Tunneling Microscopy) observation of the surface revealed that the coating also included PbO_2 nano-particles with an average diameter in the range of 7-21 nm.

Keywords: Lead dioxide, Morphology, Nanoparticles, Pulse Electroplating.

E-mail of corresponding author: Seyyed_27179@yahoo.com

مقدمه

پالسی شده‌اند. اما در این تحقیق، حتی در شرایط بهینه تنها در حدود ۸٪ دی اکسید سرب ایجاد شده است. ترکیباتی دیگری مانند $PbSO_4$, $Pb_4O_3SO_4 \cdot H_2O$ و PbO_4H_2O نیز در پوشش آندی وجود داشته است. از این‌رو برای تبدیل این اجزاء به دی اکسید سرب بعد از مرحله پالس، از فرآیند شارژ بوسیله اعمال یک ولتاژ ثابت $2/48V$ به مدت زمان حداقل ۲ ساعت استفاده شده است [۴]. دیویلرز^۱ و همکارانش در دانشگاه پیر و ماری کوری^۲ فرانسه پوشش دی اکسید سرب با اندازه کریستالی در ابعاد میکرون را روی زیر لایه تیتانیمی با پوشش میانی پلاتین در محلول حاوی $Pb(NO_3)_2$ و HNO_3 در $pH=2$ و مدت زمان آبکاری ۲ ساعت تولید کرده‌اند [۵]. قاسمی و همکارانش در دانشگاه تربیت مدرس، موفق به تولید پوشش دی اکسید سرب نانو ساختاری با اندازه ذراتی در محدوده 30 nm تا 50 nm در روش جریان مستقیم با حضور افزودنی PVP^3 از یک محلول آبکاری حاوی $Pb(NO_3)_2$, NaF و $HClO_4$ با اعمال دانسته جریان $mAc m^{-2}$ روی زیر لایه‌های تیتانیمی و پلاتینی شده‌اند [۶]. یو^۴ و همکارانش در دانشگاه نان‌چنگ^۵ چین، تولید پوشش دی اکسید سرب با اندازه کریستالی در ابعاد میکرون را با استفاده از روش‌های آبکاری جریان مستقیم و پتانسیل چرخه‌ای روی زیر لایه Ti/SnO_2 از یک محلول حاوی $Pb(NO_3)_2$ و HNO_3 مورد بررسی قرار داده‌اند [۷]. واتیس تاس^۶ و همکارانش در دانشگاه پیزا^۷ ایتالیا پوشش دی اکسید سرب با اندازه کریستالی در ابعاد میکرون را با استفاده از روش آبکاری جریان پالسی روی زیر لایه HNO_3 و NaF , $Pb(NO_3)_2$ از یک محلول حاوی Ti/SnO_2 تولید کرده‌اند [۸]. بررسی‌های انجام شده روی منابع مختلف نشان داد که تا کنون فعالیتی در خصوص ایجاد ساختار نانو

در حوزه‌های مختلف علم و تکنولوژی مواد نانو ساختار از اهمیت بالایی برخوردار می‌باشدند. روش‌های متفاوتی برای تولید مواد نانو ساختار وجود دارد اما روش آبکاری پالسی در تولید نانو کریستال‌های مواد فلزی به دلیل سادگی روش و عدم نیاز به تجهیزات گران قیمت از اهمیت بالایی برخوردار است. دی اکسید سرب بواسطه فعالیت کاتالیتیک مناسب، هدایت الکتریکی خوب، پایداری بالا در محیط‌های اسیدی و هرزینه پایین تولید کاربردهای وسیعی در صنعت و الکتروشیمی پیدا کرده است [۱]. از کاربردهای متنوع آن می‌توان به الکترود مثبت در باتری‌های اسید-سرب، به عنوان آند در تولید فلز روی از طریق الکترولیز، در الکترولیز کلریدسدهیم برای تولید کلر و در تولید اوزون می‌توان اشاره کرد [۱ و ۲]. روش‌های متنوعی برای تولید آندهای دی اکسید سرب وجود دارد، مانند روش تجزیه حرارتی، روش شیمیایی و روش الکتروشیمیایی. اما فعالیت الکتروشیمیایی برتر از سایر روش‌ها است [۳]. از روش‌های الکتروشیمیایی می‌توان به روش‌های جریان ثابت، پتانسیل ثابت، پتانسیل چرخه‌ای و جریان پالسی اشاره کرد [۲ و ۳]. روش آبکاری جریان پالسی روش قابل اعتمادی برای تولید نانو ساختار پوشش دی اکسید سرب می‌باشد [۲]. از متغیرهای مهم در روش آبکاری پالسی می‌توان به دما، دانسته جریان، چرخه‌کاری و فرکانس پالس اشاره کرد. مکانیزم آبکاری دی اکسید سرب با آبکاری فلزات متفاوت است. در آبکاری دی اکسید سرب یون‌های سرب با اجزاء حاوی اکسیژن که از قبل روی سطح آند جذب سطحی شده‌اند واکنش کرده و دی اکسید سرب روی سطح آند رسوب می‌شود. همزمان برخی از اجزاء حاوی اکسیژن به طور مستقیم برای تشکیل و تصاعد اکسیژن روی سطح آند منتقل می‌شوند [۱].

^۱-Devilliers

^۲-Université Pierre & Marie Curie

^۳-Polyvinylpyrrolidone

^۴-Yu

^۵-Nanchang

^۶-Vatistas

^۷-Pisa

۴ سانتی‌متر با سرعت چرخش 200 rpm تأمین گردید. محلول آبکاری شامل 166 g نیترات سرب، 25 g نیترات مس و 1 g فلورید سدیم می‌باشد که به کمک آب مقطر به حجم رسید. همچنین از اسید نیتریک برای تنظیم pH محلول در حدود ۱ استفاده شد. در تمام نمونه‌ها قبل از آبکاری پالسی یک مرحله آبکاری جریان مستقیم در دانسیته جریان 33 mAcm^{-2} به مدت 40 دقیقه اعمال گردید. مجموع زمان روشن پالس برای تمام نمونه‌ها 40 دقیقه لحظ شده است. در آبکاری پالس اثر سه دمای 25 ، 45 و 65°C و سه دانسیته جریان پیک 33 ، 50 و 80 mAcm^{-2} در فرکانس 20 Hz چرخه‌کاری 10% بر مورفولوژی پوشش دی اکسید سرب بررسی شد. جهت بررسی زبری سطح پوشش در مقیاس Mitutoyo میکرو از دستگاه زبری سنج ساخت شرکت Sj-201 مدل استفاده شد. از دستگاه پتانسیوستات مدل SAMA 500 جهت انجام آزمایش ولتاوتمتری چرخه‌ای (cv^1) استفاده شد. برای تعیین اثر پارامترهای آبکاری روی سطح ویژه پوشش از چرخه پنجم آزمایش فوق در محدوده $0/4$ تا 7 نسبت به الکترود مرجع Ag/AgCl با سرعت جاروب 10 mv/s در محلول اسید سولفوریک $4/7\text{ M}$ در دمای محیط استفاده شد. جهت بررسی مورفولوژی سطح پوشش از میکروسکوب الکترونی روبشی مدل PHILIPS-XL30 و میکروسکوب روبشی تونلی (STM) مدل SS1 استفاده شد.

نتایج و بحث

بررسی اثر دانسیته جریان پیک بر سطح موثر و مورفولوژی پوشش دی اکسید سرب

نتایج حاصل از آزمایش زبری سنجی و آزمایش CV در جدول ۱ آورده شده است. طبق این جدول مقادیر زبری متوسط و همچنین میزان بار مصرفی برای تبدیل دی اکسید سرب به سولفات سرب در آزمایش CV با افزایش دانسیته جریان پیک از 33 تا 50 mAcm^{-2} ابتدا کاهش و سپس با افزایش دانسیته

در پوشش دی اکسید سرب با روش آبکاری پالسی بر روی زیر لایه Ti/SnO_2 به ثبت نرسیده است.^[۹] مهمترین ویژگی یک آند دی اکسید سربی، میزان فعالیت الکتروکاتالیستی آن می‌باشد. فعالیت الکتروکاتالیستی تابعی از اندازه ذرات پوشش و نسبت سطح به حجم آنها می‌باشد. نسبت بالای سطح به حجم و همچنین اندازه بسیار کوچک ذرات سبب بوجود آمدن کاتالیست‌های با خواص منحصر به فرد می‌شود. بدین ترتیب بیشترین فعالیت الکتروکاتالیستی را پوشش‌هایی از خود نشان می‌دهند که اندازه ذرات پوشش آنها در مقیاس نانو باشد.^[۱۰] با توجه به اینکه با نانو ساختار کردن پوشش دی اکسید سرب سطح ویژه پوشش به طور قابل توجه‌ای افزایش می‌یابد، افزایش راندمان این پوشش‌ها می‌تواند تحول بزرگی در صنایع مرتبط در پی داشته باشد. در این تحقیق اثر دمای حمام و دانسیته جریان پیک بر مورفولوژی، زبری سطح و سطح ویژه پوشش دی اکسید سرب ارزیابی شده است.

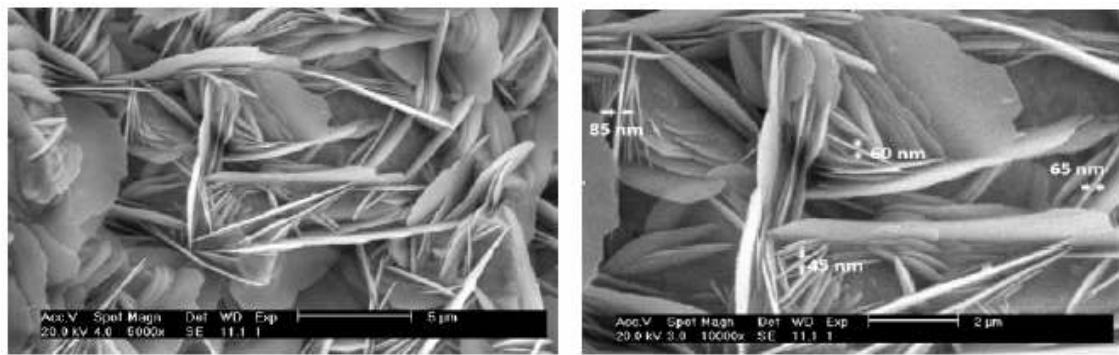
مواد و روش آزمایش‌ها

در این تحقیق از ورق تیتانیمی خالص تجاری به عنوان فلز پایه استفاده شده است. آماده‌سازی زیر لایه تیتانیمی در سه مرحله انجام شد: در مرحله اول آماده‌سازی مکانیکی نمونه‌ها با سندبلاست انجام گردید. در مرحله دوم نمونه‌ها در استن خالص به روش آلتراسونیک با فرکانس 20 KHz به مدت 30 دقیقه چربی‌گیری شدند و در مرحله آخر اسیدشوابی در محلول 1 HgM اسید سولفوریک 95 drصد و 3 حجم آب مقطر در دمای 85°C به مدت 2 ساعت انجام شد. بعد از این مرحله زیر لایه تیتانیمی با یک محلول حاوی کلرید قلع آغاز شد گردید و به روش تجزیه حرارتی پوشش میانی اکسید قلع روی زیر لایه تیتانیمی ایجاد گردید. ورقی از جنس تیتانیم با پوشش میانی اکسید قلع به عنوان آند و از یک ورق مس خالص به عنوان کاتد و یک بشر شیشه‌ای به حجم 5 لیتر به عنوان حمام آبکاری استفاده شد. در آبکاری تمام نمونه‌ها تلاطم مورد نیاز بوسیله یک مگنت مغناطیسی با طول

¹Cyclic Voltammetry

جدول ۱. میزان بار مصرفی برای تبدیل دی اکسید سرب به سولفات سرب در بررسی CV و مقادیر زبری متوسط بدست آمده از نمونه های پوشش داده شده در دانسیته جریان های پیک مختلف، فرکانس ۲۰Hz، چرخه کاری ۱۰٪ و دمای ۶۵°C

نمونه	(mAcm ⁻²) دانسیته جریان	(μc) میزان بار مصرفی	(μm) زبری متوسط
۱	۳۳	۱۳۸۱۰۰	۷/۲۹
۲	۵۰	۱۰۷۵۰۰	۴/۲۳
۳	۸۰	۱۱۴۲۰۰	۵/۴۱



شکل ۱. تصاویر SEM از نمونه های پوشش داده شده در دانسیته جریان پیک^۲ ۳۳ mAcm⁻²، ۲۰Hz، چرخه کاری ۱۰٪ و دمای ۶۵°C

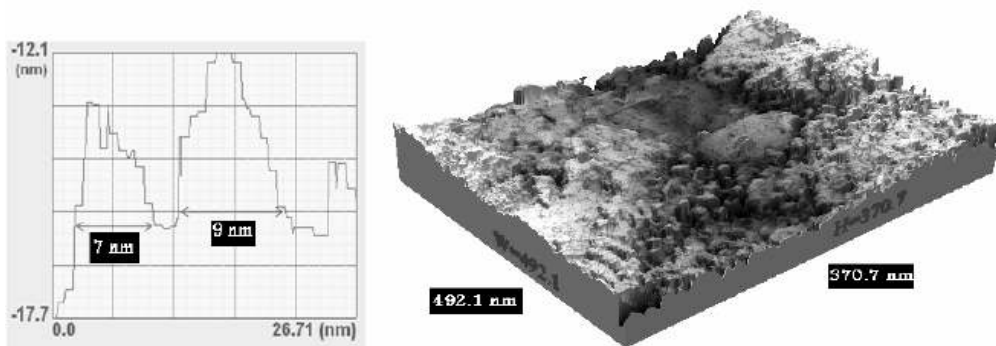
(شکل ۵) حاوی کریستال های بزرگ گوشیدار با قطر متوسطی در محدوده ۰/۲ تا ۱ μm می باشد. به طور کلی در دانسیته جریان های کم، اجزاء واکنش دهنده فرصت کافی برای قرار گرفتن در مکان های مناسب در سطح را پیدا می کنند، که منجر به ایجاد یک ساختار مطلوب از لحظات زبری سطح و سطح ویژه پوشش همانطور که در شکل ۱ نشان داده شده است، می شود. با این حال در دانسیته جریان بالا بواسطه افزایش نرخ رسوب گلداری، ایجاد پلاریزاسیون غلطی و غالب شدن فرآیند تصاعد اکسیژن، به اجزاء واکنش دهنده فرصت کافی برای قرار گرفتن در مکان های مناسب در سطح داده نمی شود [۲ و ۳].

هنگام افزایش دانسیته جریان پیک در آبکاری پالسی دو اتفاق مهم رخ می دهد که یکی در جهت افزایش زبری سطح و کاهش اندازه دانه و دیگری در جهت کاهش زبری سطح و افزایش اندازه دانه می باشند:

۱- طبق رابطه (۱)، جون D_{on} و γ (چرخه کاری)، ثابت هستند δ_p (ضخامت لایه نفوذی)، ثابت می ماند. همچنین به خاطر ثابت بودن δ_p و C_n (دانسیته جریان حدی پالسی) ثابت می ماند. طبق رابطه (۲) نیز به خاطر ثابت بودن

جریان پیک به 80 mAcm^{-2} افزایش می یابد. تغییرات زبری متوسط در دانسیته جریان های پیک مختلف در انطباق کامل با تغییرات میزان بار مصرفی در آزمایش CV می باشد، در هر دو بررسی زبری متوسط و بیشترین میزان بار مصرفی در دانسیته جریان پیک 33 mAcm^{-2} بدست آمده است. مورفولوژی پوشش در دانسیته جریان 33 mAcm^{-2} شکل ۱ حاوی نانوپولک های ظرفی با ضخامتی در محدوده ۴۵ تا ۸۵ nm و طولی در محدوده ۰/۷۵ تا $10 \mu\text{m}$ می باشد. تصویر STM پوشش دی اکسید سرب تولید شده در دانسیته جریان 33 mAcm^{-2} (شکل ۲) وجود نانوذرات دی اکسید سرب با قطر متوسطی در محدوده ۸ تا 21 nm را روی پولک ها تأیید می کند.

در دانسیته جریان 50 mAcm^{-2} (شکل ۳) تغییر محسوسی در مورفولوژی پوشش مشاهده می شود. مورفولوژی پوشش در این دانسیته جریان حاوی کریستال های بزرگ گوشیدار با قطر متوسطی در محدوده $0/۳$ تا $2 \mu\text{m}$ می باشد. تصویر STM پوشش دی اکسید سرب تولید شده در دانسیته جریان 50 mAcm^{-2} (شکل ۴) وجود نانوذرات دی اکسید سرب با قطر متوسطی در محدوده 31 nm تا 44 nm را روی کریستال های بزرگ را تأیید می کند. مورفولوژی پوشش در دانسیته جریان



شکل ۲. تصویر STM پوشش دی اکسید سرب تولید شده در دانسیته جریان 33 mAcm^{-2} ، فرکانس 20 Hz ، چرخه کاری 10% و دمای حمام 65°C . نمودار سمت چپ معرف یک نمونه از اندازه ذرات دی اکسید سرب می باشد.

پیک، C_s کاهش می یابد [۱۱]. با افزایش دانسیته جریان پیک، تهی سازی غلظت در فصل مشترک الکتروولیت / الکترود بواسطه افزایش در سرعت واکنش رسبوب گذاری، افزایش می یابد. از این رو تغذیه نامناسب اجزاء واکنش دهنده در فصل مشترک باعث کاهش نرخ جوانهزنی در فرآیند آبکاری می شود [۱۳]. با کاهش غلظت اجزاء واکنش دهنده، بیشتر بار اعمالی صرف رشد جوانهها و دانه های بوجود آمده در پالس های قبلی می شود که این روند سبب کاهش زبری متوسط و میزان بار مصرفی در آزمایش CV در اثر افزایش اندازه ساختار می گردد [۱۱].

در واقع با افزایش دانسیته جریان از 33 mAcm^{-2} به 50 mAcm^{-2} ، اثر کاهش C_s بر اثر افزایش η_c فائق آمده و ساختار درشت دانه می شود، در مقابل با افزایش دانسیته جریان از 50 mAcm^{-2} به 80 mAcm^{-2} اثر افزایش η_c بر اثر کاهش C_s فائق آمده و ساختار ریز دانه تر می گردد.

i_p تنها با η_c تغییر می کند. با افزایش دانسیته جریان پیک، کمان \ln کاهش می یابد و بدین ترتیب میزان ولتاژ اضافی، افزایش می یابد. با افزایش η_c میزان جذب و تصاعد اکسیژن افزایش می یابد و نقش ممانعت کنندگی اکسیژن، بالا رفته و سبب ساختار ریزتر و افزایش زبری متوسط می شود [۴ و ۵].

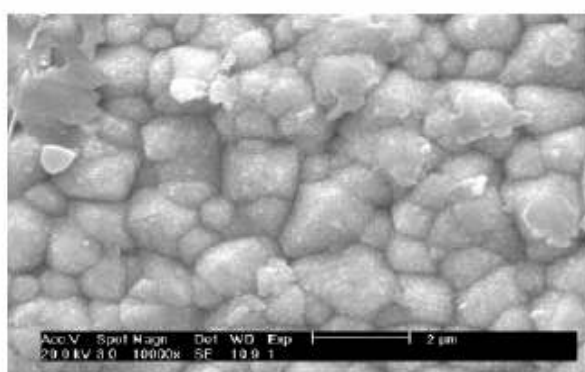
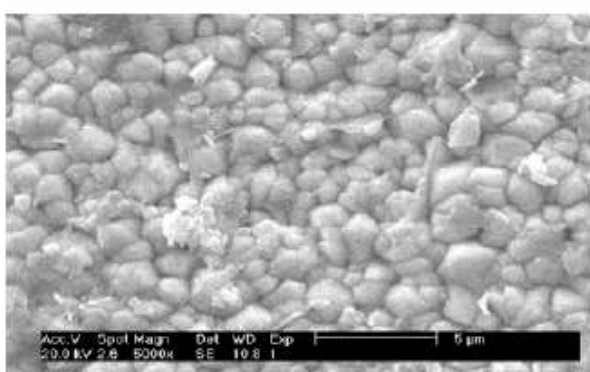
$$\delta_p = \left[\frac{4}{\pi} D t_{on} (1 - \gamma) \right]^{1/2} \quad (1)$$

$$\eta_c = \frac{RT}{nF} \ln \left(1 - \frac{i_p}{i_n} \right) \quad (2)$$

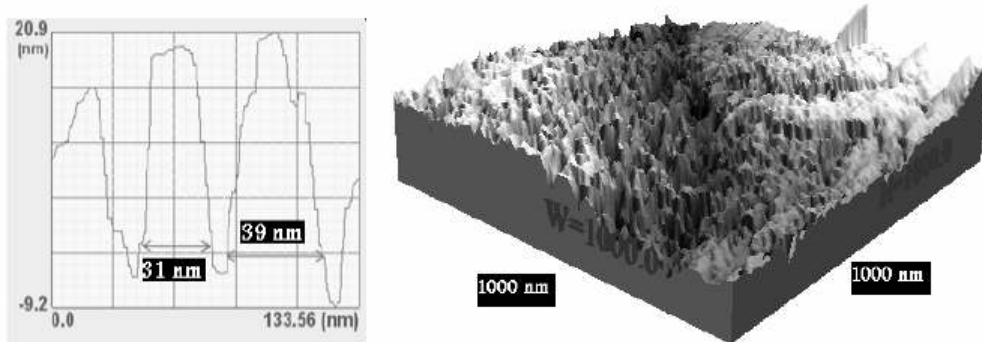
- از طرفی دانسیته جریان پیک با غلظت اجزاء نفوذی روی سطح الکترود (C_s) بصورت زیر، رابطه دارد:

$$i_p = nFD \frac{C_n - C_s}{\delta_p} \quad (3)$$

در این رابطه تنها با تغییر η_c C_s تغییر می کند که در جهت عکس هم حرکت می کنند، یعنی با افزایش دانسیته جریان



شکل ۳. تصاویر SEM از نمونه های پوشش داده شده در دانسیته جریان پیک 50 mAcm^{-2} ، فرکانس 20 Hz ، چرخه کاری 10% و دمای 65°C

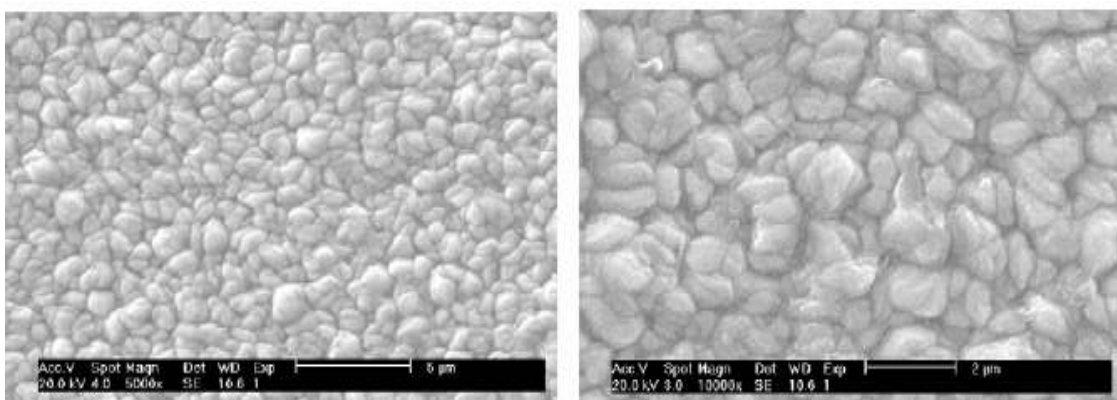


شکل ۴. تصویر STM پوشش دی اکسید سرب تولید شده در دانسیته جریان 50 mAcm^{-2} ، فرکانس 20 Hz ، چرخه کاری 10% و دمای 65°C . نمودار سمت چپ معرف یک نمونه از اندازه ذرات دی اکسید سرب می باشد.

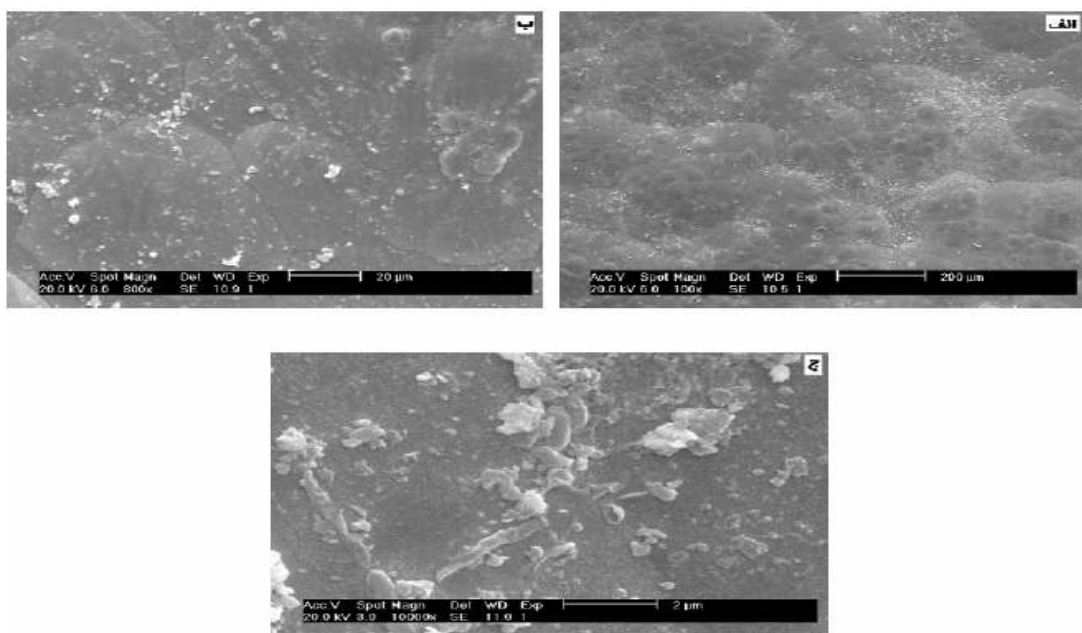
نتوانسته اند رشد کنند و در حد کریستال های کوچک و پراکنده باقی مانده اند که این امر سبب مسطح شدن سطح شده است. حالت تپهوار مورفولوژی پوشش در دمای 45°C (شکل ۷-الف) کاملاً مشخص است. مورفولوژی در بزرگنمایی بالاتر (شکل ۷-ب) شامل کریستال های بزرگ با قطر متوسطی در محدوده $1/3$ تا $1/6 \mu\text{m}$ و کریستال های کوچک با قطر متوسطی در محدوده $0/3$ تا $0/6 \mu\text{m}$ می باشد. تصویر گرفته شده در بزرگنمایی بالا (شکل ۷-ج) حضور کریستال های بسیار ریز با قطر متوسطی در محدوده 60 تا 230 nm روی کریستال های بزرگ را نشان می دهد. حالت تپهوار با ناهمواری های بیشتر در مورفولوژی پوشش در دمای 65°C (شکل ۸-الف) کاملاً مشخص است. مورفولوژی پوشش در بزرگنمایی های بیشتر (شکل ۸-ب و ج) حاوی نانو پولک های ظریفی با ضخامتی در محدوده 45 تا 85 nm و طولی در محدوده $0/75$ تا $10 \mu\text{m}$ می باشد.

بررسی اثر دما بر سطح موثر و مورفولوژی پوشش دی اکسید سرب

نتایج آزمایش زیری سنجی و آزمایش CV در جدول ۲ برای سه دمای مختلف آورده شده است. طبق این جدول مقادیر زیری متوسط و میزان بار مصرفی با افزایش دما، افزایش یافته است. همانطور که جدول ۲ نشان می دهد، روند تغییرات زیری متوسط پوشش در انطباق کامل با نحوه تغییرات میزان بار مصرفی در بررسی CV می باشد. مورفولوژی پوشش در دمای 25°C (شکل ۶-الف) در بزرگنمایی کم بصورت سطوح مسطح و متراکم می باشد. حالت مسطح در بزرگنمایی بالاتر (شکل ۶-ب و ج) به وضوح مشخص است. در این شکل کریستال های مسطح بزرگ با قطر متوسطی در محدوده 37 تا $69 \mu\text{m}$ قابل مشاهده است. در بیشترین بزرگنمایی (شکل ۶-ج) مورفولوژی سطح شامل تعداد زیادی کریستال است که



شکل ۵. تصاویر SEM از نمونه های پوشش داده شده در دانسیته جریان پیک 80 mAcm^{-2} ، فرکانس 20 Hz ، چرخه کاری 10% و دمای 65°C .



شکل ۶. تصاویر SEM از نمونه‌های پوشش داده شده در درجهات ۲۵ °C، ۴۰ Hz، چرخه کاری ۱۰٪ و دانسیته جریان ۳۳ mAcm⁻² در بزرگنمایی‌های مختلف.

جدول ۲. میزان بار مصرفی برای تبدیل دی اکسید سرب به سولفات سرب در بررسی CV و مقادیر زبری متوسط بدست آمده از نمونه‌های پوشش داده شده در دماهای حمام مختلف، فرکانس ۲۰ Hz، چرخه کاری ۱۰٪ و دانسیته جریان ۳۳ mAcm⁻²

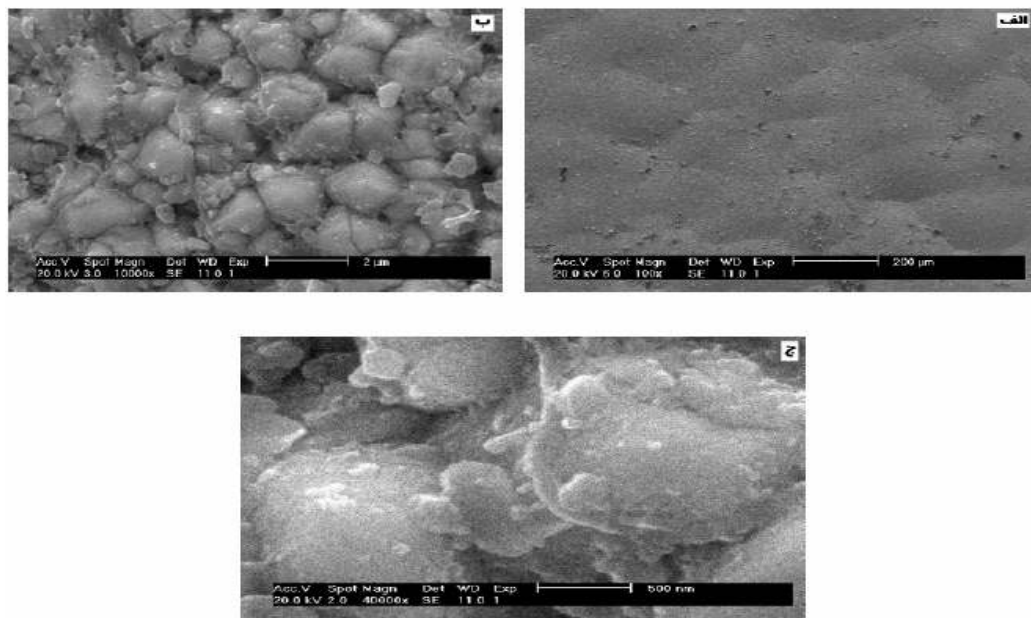
نمونه	دماهای حمام (°C)	میزان بار مصرفی (μc)	زبری متوسط (μm)
۱	۲۵	۱۱۳۶۷۲	۴/۶۱
۲	۴۰	۱۲۸۰۰۰	۶/۴۱
۳	۶۰	۱۳۸۱۰۰	۷/۲۹

بالا می‌باشد، پس مقدار جذب و سپس تصاعد اکسیژن کاهش می‌یابد. همچنین به علت پایین بودن دما، ضریب نفوذ یون‌های سرب در محلول پایین است و به همین دلیل جوانه‌های تشکیل شده نمی‌توانند رشد مناسبی داشته باشند. این فرآیند سبب مسطح شدن ساختار، کاهش زبری متوسط و میزان بار مصرفی برای تبدیل دی اکسید سرب به سولفات سرب در آزمایش ولتاوری چرخه‌ای می‌شود (شکل ۶). اما با افزایش دما تا ۴۵ °C، ضریب نفوذ یون‌های سرب در محلول افزایش می‌یابد و جوانه‌ها می‌توانند رشد کنند. از طرف دیگر بواسطه کاهش پتانسیل اضافی اکسیژن، میزان جذب و تصاعد اکسیژن زیادتر شده و اکسیژن به خوبی بصورت یک مانع در مراکز رشد عمل کرده و از رشد زیاد دانه‌ها جلوگیری می‌کند که این امر سبب می‌شود که ساختار نسبت به نمونه قبلی ریزدانه‌تر

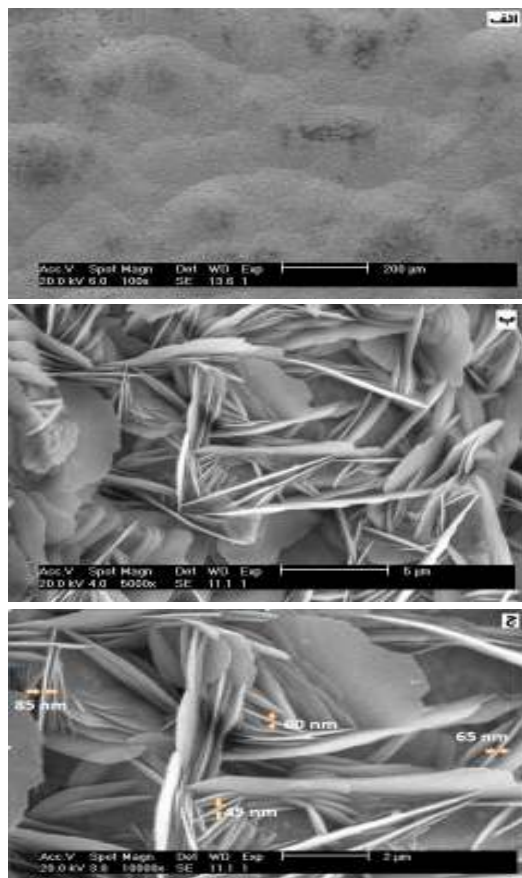
این به خوبی شناخته شده است که افزایش دما باعث افزایش سیستمک جوانه‌زنی و رشد می‌شود [۱۴]:

(۱) در دماهای بالاتر، جوانه‌زنی آسان‌تر است، زیرا نفوذ یون سرب در الکتروولیت به سمت آند بواسطه کاهش ویسکوزیته الکتروولیت، افزایش می‌یابد و اکسیداسیون آن به دی‌اکسید سرب می‌تواند در پتانسیل مثبت کمتر رخ دهد. (۲) در دماهای بالاتر رشد آسان‌تر است، زیرا نفوذ حالت جامد افزایش می‌یابد. افزایش دما همچنین باعث کاهش پتانسیل اضافی اکسیژن می‌شود [۱۵]، یعنی با افزایش دما میزان تصاعد اکسیژن افزایش می‌یابد. افزایش میزان جذب و تصاعد اکسیژن در شرایط مناسب اثر ریزکنندگی روی ساختار پوشش دارد. [۱۶]

بدین ترتیب در دماهای ۲۵ °C، میزان پتانسیل اضافی اکسیژن



شکل ۷. تصاویر SEM از نمونه‌های پوشش داده شده در در دمای 45°C ، فرکانس 20 Hz ، چرخه کاری 10% و دانسیته جریان 33 mA cm^{-2} در بزرگنمایی‌های مختلف.



شکل ۸. تصاویر SEM از نمونه‌های پوشش داده شده در در دمای 65°C ، فرکانس 20 Hz ، چرخه کاری 10% و دانسیته جریان 33 mA cm^{-2} در بزرگنمایی‌های مختلف.

شود و بدین ترتیب زبری متوسط و میزان بار مصرفی برای تبدیل دی اکسید سرب به سولفات سرب در آزمایش ولتا مترا چرخه‌ای نسبت به دمای 25°C افزایش می‌یابد (شکل ۷). با افزایش بیشتر دما تا 65°C ، ضریب نفوذ یون‌های سرب در محلول افزایش می‌یابد و جوانه‌ها می‌توانند رشد مناسب‌تری داشته باشند، از طرفی بواسطه کاهش بیشتر پتانسیل اضافی اکسیژن، میزان جذب و تصاعد اکسیژن زیادتر شده و اکسیژن به خوبی بصورت یک مانع در مراکز رشد عمل کرده و از رشد زیاد جوانه‌ها جلوگیری می‌کند که این امر سبب می‌شود که ساختار به نحو مطلوبی ریز بماند و بدین ترتیب زبری متوسط و میزان بار مصرفی برای تبدیل دی اکسید سرب به سولفات سرب در آزمایش ولتا مترا چرخه‌ای به بیشترین مقدار خود در این بررسی افزایش می‌یابد (شکل ۸).

نتیجه گیری

با توجه به نتایج بررسی‌های SEM، زبری سنجی و ولتا مترا چرخه‌ای شرایط بهینه در بررسی دما و دانسیته جریان پیک در این بررسی به ترتیب دمای 65°C و دانسیته جریان 33 mA cm^{-2} می‌باشد. مورفولوژی پوشش دی اکسید سرب

منابع

- P. K. Shen and X. L. Wei, *Morphologic study of electrochemically formed lead dioxide*, *Electrochimica Acta*, 48(2003)1743_1747.
- S. Ghasemi, H. Karami, F. Mousavi and M. Shamsipur, *Synthesis and morphological investigation of pulsed current formed nano-structured lead dioxide*, *Electrochemistry Communications*, 7(2005)1257–1264.
- S. Ghasemi, F. Mousavi, H. Karami , M. Shamsipur and S. H. Kazemia, *Energy storage capacity investigation of pulsed current formed nano-structured lead dioxide*, *Electrochimica Acta*, 52(2006)1596–1602.
- H. Karami and M. Alipour, *Synthesis of Lead Dioxide Nanoparticles by the Pulsed Current Electrochemical Method*, *International Journal of Electrochemical Science* 4 (2009)1511–1527.
- D. Devilliers, M.T. Dinh Thi, E. Mahéa and Q. Le Xuand, *Cr(III) oxidation with lead dioxide-based anodes*, *Electrochimica Acta*, 48(2003)4301–4309.
- S. Ghasemi, F. Mousavi and M. Shamsipur, *Electrochemical deposition of lead dioxide in the presence of polyvinylpyrrolidone A morphological study*, *Electrochimica Acta*, 53(2007)459–467.
- N. Yu, L. Gao, S. Zhao and Z. Wang, *Electrodeposited PbO₂ thin film as positive electrode in PbO₂/AC hybrid capacitor*, *Electrochimica Acta*, 54(2009)3835–3841.
- N. Vatistas and S. Cristofaro, *Lead dioxide coating obtained by pulsed current technique*, *Electrochemistry Communications*, 2(2000) 334–337.
- میرعلی سید مرتضی، بررسی اثر پارامترهای آبکاری پالسی بر نانو ساختار پوشش دی اکسید سرب روی زیر لایه تیتانیمی، پایان نامه کارشناسی ارشد رشته مهندسی مواد، دانشکده مواد و فناوری های ساخت، مرکز آموزشی تحقیقاتی مواد فلزی، دانشگاه صنعتی مالک اشتر، ۱۳۹۰.

حاصل شده در این شرایط حاوی نانو پولکهای با ضخامتی در محدوده ۴۵ تا ۸۵ nm و طولی در محدوده ۰/۷۵ تا ۱۰ μm می باشد. همچنین تصاویر STM پوشش دی اکسید سرب تولید شده در این شرایط وجود نانوذرات دی اکسید سرب با قطر متوسطی در محدوده ۷ تا ۲۱ nm را نشان می دهد.

- L. P. Bicelli, B. Bozzini, C. Mele and L. D'Urzo, *A review of nanostructural aspects of metal electrodeposition*, *International Journal of Electrochemical Science*, 3 (2008) 356-408.
 - M. Datta and D. Landolt, *Experimental investigation of mass transport in pulse plating*, *Surface Technology*, 25 (1986) 97-110.
 - A. M .El-Sherik, U. Erb and J. page, *Microstructure evolution pulse plated nickel electrodeposits*, *Surface and Coating Technology*, 88 (1996) 70-78.
 - D. J. Kim, Y. M. R. M. Hongseo and J. S. Kim, *Effects of the peak current density and duty cycle on material properties of pulse-plated Ni-P-Fe electrodeposits*, *Surface & Coatings Technology*, 192 (2005) 88– 93.
 - I. Sirés, C. T. J. Low, C. Ponce-de-Lén and F.C. Walsh, *The characterisation of PbO₂-coated electrodes prepared from aqueous methanesulfonic acid under controlled deposition conditions*, *Electrochimica Acta*, 55 (2010) 2163–2172.
۱۵. قربانی محمد، پوشش دادن فلزات، جلد اول، چاپ دوم، موسسه انتشارات علمی دانشگاه صنعتی شریف، تهران، ۱۳۸۵-۳۴.